大林組技術研究所 正員 喜田大三

1. ま之がき

土木では、土は主要な天然の建設材料である。したがって、人工の建設材料の場合と同称に、土木工事の設計・施工前にその物性、すなりち土の物理的・力学的諸性質はかりでなく、それら諸性質を発現させる原因となる化学的性質をも把握しておく必要がある。

そして, 喜田は1961年に土質化学を次のように定義した¹⁾。 "土の 物理的力学的諸性質を解明し改善するため, 土の鉱物組成, 化学成 分, 界面化学的性質および各種添加校との化学的諸反応を研究する 科学"つまり, 土質化学は化学と物理力学との境界の科学である。

さて現在,当社はシンかポール東海岸の埋立工事を行なっている (字真-1,-2,-3)。 ベドック―-タンジョンルー 向の海岸,延長8.8km,幅 260~660 mを埋立てるため、背後のベドック丘陵の花崗岩系沖積砂土 (図-1) を掘削し、掘削土をベルトコンベヤにて埋立地に運搬している。埋立土量 2065万 m³ の約 1/3 にあたる 700 万 m³の土は、わか国の花崗岩系砂土にみられない極めて特異な性質を有している。 すなわち、掘削時にこの砂土は非常に硬く掘削刃の摩耗が激しく、他方、一度スコールに襲われると極めて容易に軟化し粘土的性質を示す。

そこで、掘削土がか>る特異的性質を示す原因を土質化学的に完明し、掘削工法を検討する際に指針を与之ようとした。なお、研究成果の詳細は社內的に²⁾、また技研所報³に発表している。

2. 土が硬く, 掘削双の摩耗が激しい。

2-1. 実験項目 (1)粒度試験,(2)単位体積重(分の測定,(3)土の構造および構成鉱物の観察,(4)砂介中の一次鉱物量の測定。

2-2. 結果と考察 掘削時に砂土が非常に硬く,掘削刃の摩耗が 漑しい理由を土質化学的に検討した。その結果,砂粒子が窓に詰っ ており,最も硬い石英砂が多量に仕全体の約60%重量)含まれていた。

(1) 密に詰った構造をもつ砂土である。 図-2 に粒度試験結果を示す。さて普通の砂土の氏は約1.8 %mであるが、供試土の 氏は 2.08 %mである。このことは、砂粒子が非常に窓に詰っていることを示唆している。そこで、気乾土塊をカナダバルサム液で固め、厚さ 0.03 mmの薄片を作成し、土の構造を観察した。 図-3 に示すように、砂粒子ばかりでなく、その向ゲキにもシルト・粘土分が宏に詰っている。な



写真-1 バケット・ホイールエキスカペーターによる掘削



字真-2 スプレッケーによる掘削土の埋立て



字真-3 空からの埋立て現場

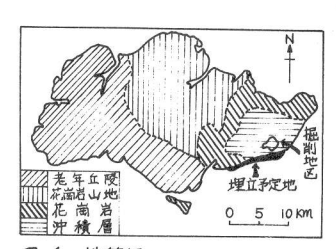


図-1 地質図

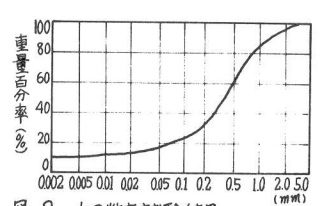


図-2 土の粒度試験結果

お,一面セン断において自然含水状態で C= 0.7 km², φ=40°である。
(2) 硬い石英砂を約60%も含む。四-3の薄片検鏡図によれば、特に多量の石英が観察される。正長石も観察されるが、大部分粘土化している。また花崗岩に由来するにもかかわらず、雲母は殆んど認められず、すでに粘土化していると考之られる。さて、供試土の867%を占める砂分(>002mm)について、各粒径ごとに一次鉱物量を測定し、その結果を表-1に示した。粒径の大きい砂介ほど石英量が増之、そして砂分全体に対し、石英含有量は69.1%重量(土全体の約60%重量)という非常に高い値である。しかも、石英のモース硬度は7であり、

Q3:石英, Or:正長石(大部分粘土鉱物) Fe:鉄鉱物および粘土鉱物

図-3 薄片の偏光顕微鏡観察图(Open Nicol Icd3)

以上のように、この砂土には罗量の石英砂が窓に詰っているので、掘削時に掘削双の摩耗が激しいのは当然である。

3. 土は水で容易に軟化し、粘土的性質を示す。

普通の土中に存在する一次鉱物のうち最も硬い。

3-1. 実験項目 (1)沸化現象の観察,(2)粘土鉱物の同定— X線介析(Cu Ka), 示差熱分析, 電顕観察,呈色反応,(3)化学 的性質一陽イオン交換容量(CEC),交換性陽イオン,水素イオ ン濃度(pH),三二酸化物などの各測定,(4)モンモリロナイト

表-1 可分中の石英, 長石(一部他の鉱物鈍)の含有量

粒径区分	粒度介布	鉱物量 %			
mm	%	石英	長石		
>2	3.9 (100)	3.0 (76.9)	0.9 (23/)		
2 ~1	20.2 (100)	19.0 (94.3)	1.2 (5.7)		
1 ~ 0.5	21.3 (100)	17.7 (833)	3.6 (16.7)		
$0.5 \sim 0.25$	22.2 (100)	/ 3.4 (60.3)	8.8 (39.7)		
0.25~ 0.02	19.1 (100)	6.8 (35.6)	12.3 (64.4)		
計	86.7 (100)	59.9 (69.1)	26.8 (30.9)		

の膨油分散性の検討,(5)耐水性粒団の分析,(6)透水試験,(1)コンシステンシー試験。

3-2. 結果と考察 掘削土は、前章2.で説明したように、非常に硬い砂土である。しかし、現地ではスコールによって容易に軟化し粘土的性質を示す。かかる特異的現象の原因を土質化学的に検討し

た。その結果、粘土含量は中ずか約12%であるが、その40~50%は2:1型膨脹性結晶質粘土鉱物モンモリロナイトであり、この粘土鉱物が水と極めて良く観和するので、加水時に膨油して土を容易に軟化させ、また粘土質にすることが判明した。

(1) 水で容易に軟化し、粘土的性質を示す。四4に示す沸化実験において、供試土は浸渍湿潤でも毛管湿潤でも速やかに崩壊した。しかも、この沸化崩壊した土の耐水性粒団の分析結果を粒度試験結果と比較し、表-2に示した。この土は水中で構成基本粒子すなわち一次粒子にほとんど分割されている。

以上の現象は、この土が加水によって容易にその結合力を弱められる結合物質を含むことを推定させる。そして(2)に後述するように、この土は膨脹性粘土鉱物モンモリロナイト(M)を含むことが判明した。上述の滞化現象は、土粒子を連結していた粘土鉱物のうち Mが加水時に膨油し、土粒子 p連結力が弱められたことによる。

また,この種の砂土の透水係数やは普通 10^{-3} om/sec のオーダーである。ところが,表-3に示すように 10^{-5} om/sec の異常に低いオーダー

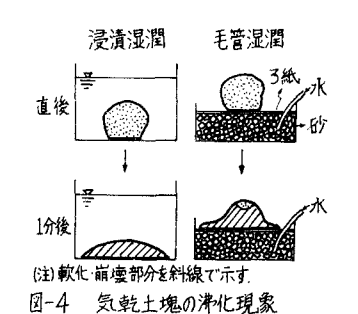


表-2 粒団分析と粒度試験との比較

粒径区分	粒团分析	粒度試験
mm	%	%
>2	4.8	3.9
2 ~1	20.4	20.2
1 ~ 0.5	23.3	2/.3
0.5 ~ 0.25	26.8	22.2
0.25~0.02	17.4	19.1
0.02~0.002	3.6	0.9
< 0.002	3.7	. 12.4
計	100.0	100.0

である。この現象の原因のオーは、この土は窓な構造を もつので向ゲキが小さいことである。 オ2は、(2)で後述 するように、この土がMを含んでいることである。 Mを 活性成分とするベントナイトは透水抑制校として広く使 表-3 透水試験(JIS A |2|8) の結果

		1回目	2回目	3回目
透水係教				1.46×10 ⁻⁵
k (cm/sec)	海水	6.60 × 10 ⁻⁵	5.95×10 ⁻⁵	

用されている。なお,海水を使用した場合の長が水道水の2倍であるのは,海水中の塩類によって Mの膨油が抑之られたことによる。

また、供試土は粒度試験から砂土、粒度とコンシステンシー試験から粘土質砂土と分類された。なお、図-5のカサグランド塑性図上にコンシステンシーの値をプロットした。また、その活性度(IP/24)は1.47であり、5Kemptonの分類によれば4群に昼し、活性度はかなり高い。この砂土が、このように活性度の高い粘土質的性質を呈するのは、親水性の大きな粘土鉱物Mを含むことによる。

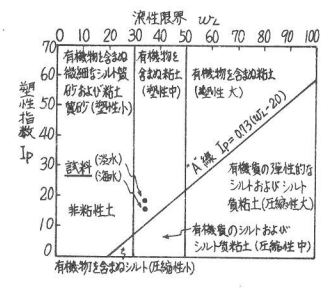


図-5 コンシステンシー試験結果

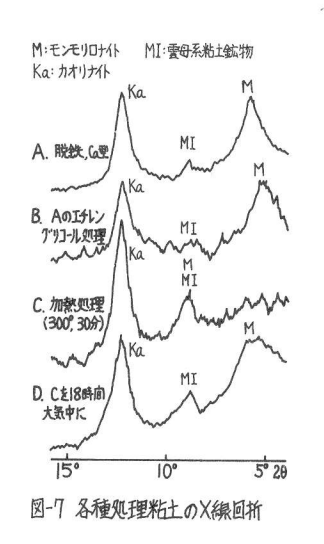
(2) 水でよく膨油する 2:1 型膨脹性結晶質粘土鉱物モンモリロナイト(Montmorillonite, Mと畧す) を含む。(I)に前述したように,掘削土が加水によって容易に軟化し,粘土的性質を示すのは,この砂土中に約12%含まれている粘土・コロイド分の鉱物・化学的諸性質の特異性によると推察した。

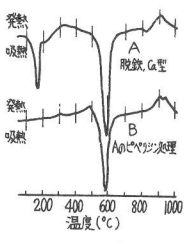
そこで、まず粘土鉱物をX線分析、示差熱分析、電子顕微鏡観察、呈色反応などで同定したところ、2:1型非膨脹性結晶質の電母系粘土鉱物(Mica clay minerals, MIと暑す)、すなめちセリサイト(Sericite)またはイライト(Illite)、および 1:1型結晶負粘土鉱物カオリナイト(Kaolinite, Kaと暑す) だけでなく、水との親知の大きな 2:1型膨脹性結晶負粘土鉱物モンモリロナイトも含まれていることが判明した。以下に、これら粘土鉱物の同定経過を暑むする。

図-6に脱鉄したCa型粘土の×線回折曲線とその回折ピークに相当する鉱物名を示した。図-7には、これら粘土鉱物M、MI、Kaを同定するため、粘土試料を各種処理して×線分析した結果をまとめている。また、図-8の示差熱分析結果は粘土鉱物M,MI、Kaが

存在すること、およびKaの結晶度が低いことを示して、図一のの電頭写真では、不定の電頭写真がからいい、不定型がからいいでは、不定ががからいいでは、ないないでは、ないでは、かいが発現したのでは、がいい、、お上試料中の各

粘土鉱物の含存比率を,





· · · · · ·

図-8 粘土の示差熱分析

図-9 粘土鉱物の電顕字真

ところで、供試土中のMの膨油分散の程度は交換性陽イオン、PHなどに著しく影響される。表5の結果から、Mの膨油に有効に作用する陽イオンがやや少ないが図10

に示すように、気乾土を30分向水中で沸化し軽く振トウした無処理の場合でも、粘土分の約30%が水中に分散している。しかも、他の処理に比べて無処理では、Mの回折ピークの面積比が非常に大きい。すなわち、無処理でも全Mの44%が良く膨油分散している。

以上, 粘土分の40~50%占めている2:1型膨脹性結晶負粘土鉱物 Mは水と良く親和し,加水による土の軟化に有効に作用している。 また,表-5の三二酸化物の分析結果から,この土のラテライト化 の程度は微弱であり,水による土の軟化を妨けないと判定された。

4. まとめ

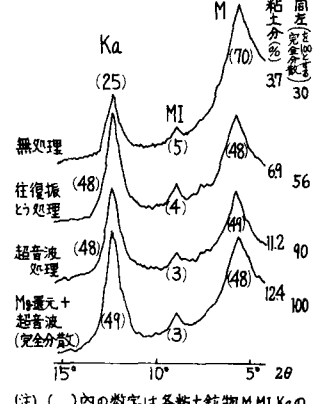
現在,シンガポールにおいて当社が行なっている海岸埋立て工事に用いる掘削土を,土質化学的に検討し,当地区の掘削工法に有益 な指針を与えた。土質化学的検討の結果は次のようである。

表-4 粘土鉱物の含有比率の検討

粘土鉱物	X線 より末 含有		粘土	鉱物の	CECの 計算値 (a)×(b)
モンモリロナイト (M) 雲母型粘土鉱物(MI)	48	%		meg/100g	38.40 meg
カオリナイト(Ka)	49		5		2.45
(注) 粘土介のCEC実測值 37.2 mg/(sog 計					41.60 meg/100g

表-5 供試土の二三の化学的性質

рН	H ₂ O	5.36	陽付次換	容量	
(1:25)	KCl	3.65	(CEC)meg/	4.26	
	Fe ₂ 0 ₃	0.02		Na	0.23
活性酸化物	Al203	0.10	交換性	K	0.13
%	Si 02	0.08	陽イオン	Ca	0.62
熱塩酸酯	Fe2 03	1.26	meg/100g	Mg	0.73
酸化物	Al ₂ 03	1.98		計	1.71
%	Si 02	0.09	塩基飽和度	%	40.1



(注) () 內の数字は各粘土鉱物 M.MI.Kaの 回折ピークの面積比である。

図-10 各種分散法にてえた粘土分のX線回折

- (I) 掘削時に花崗岩系沖積砂土が非常に硬く,掘削双の摩耗が激しいのは,最も硬い石英砂が多量に(土全体の約60%重量)含まれ,しかも密に詰っていることに因ると判定した。
- (2) 一方,このような掘削土が加水によって容易に軟化し粘土的性質を呈するのは、粘土分(約12%)の40~50%が、水との親和性が極めて大きい 2:1型膨脹性結晶集粘土鉱物モンモリロナイトであることに基因していることを明らかにした。

謝辞 土木谷の平町発は、技研の福住主任研究員に研究上便宜と与之られた。また技研の中田研究員は実験と担当にた。記して謝意を表する。

D. KITA: Soil Survey Report on Soils at Cutsite, Coastal Reclamation Scheme, Bedok to Tanjong Rhu Contract No.1, Singapore. Part 1, Geochemical Study (1966)

3)喜田·中田: シン´がポール海岸埋立用土の土質化学的検討,大林組技術研究所報, No.1 , 87~95 (1966)